

internal resource for
Reef Lecture of R.
Leinfelder at LMU
Munich.
No redistribution
permitted.
contains many 3rd party
copyrights + © R.L.

Moderne Riffgerüste nach Geister

Riffkomplexe und Karbonatplattformen:

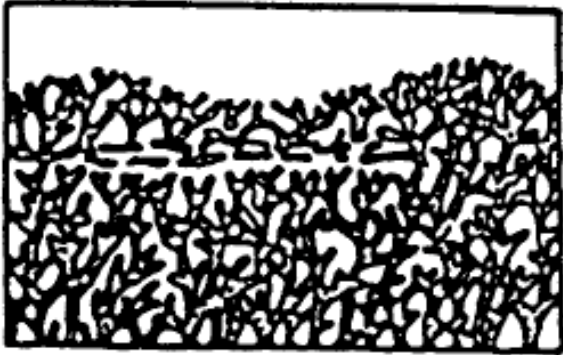
Vorriff und Plattform-Abhänge

Barrensyste

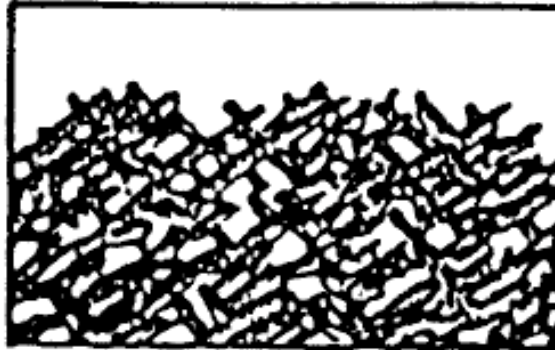
Lagunen

Tidal Flats

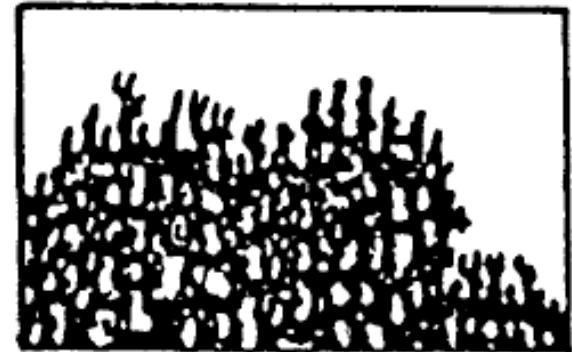
Moderne Riffgerüste nach Geister 1985



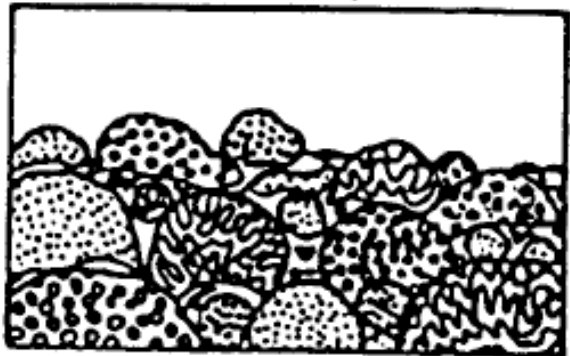
A *Porites porites* var. *furcata*



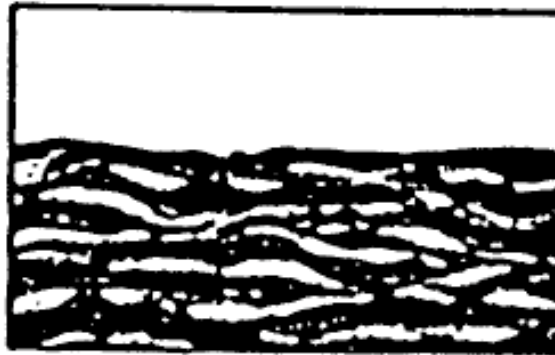
B *Acropora palmata*



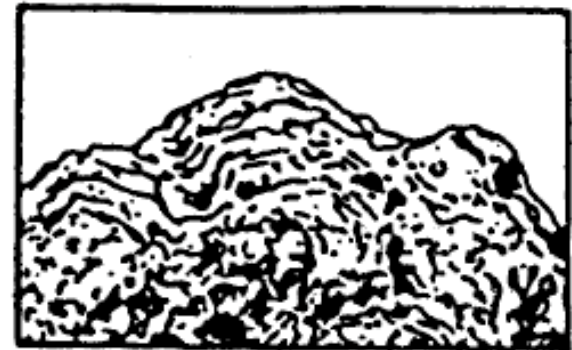
C *Nillepore alvicornis*



D massige Scleractinier



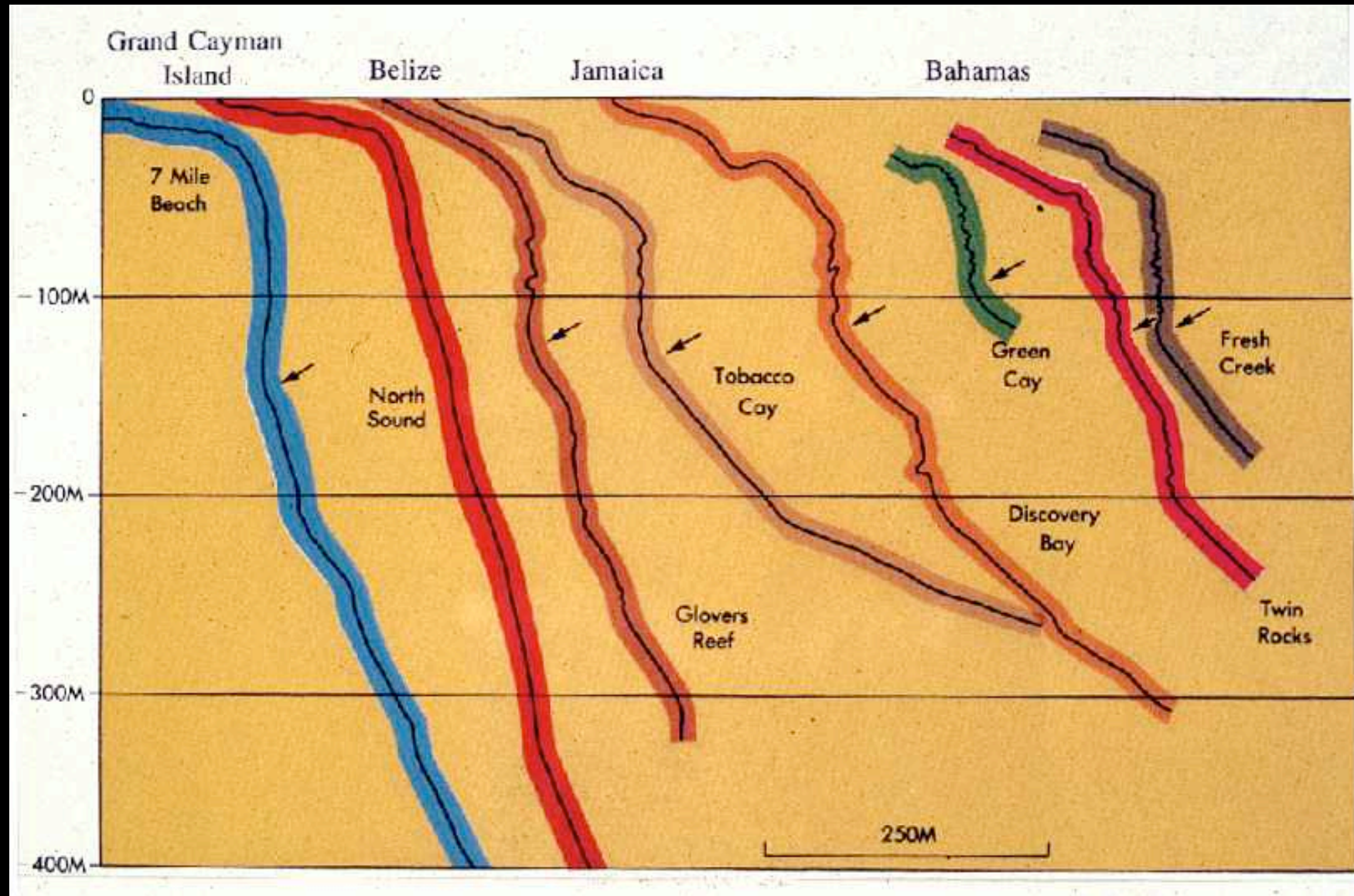
E *Diploria clivosa*



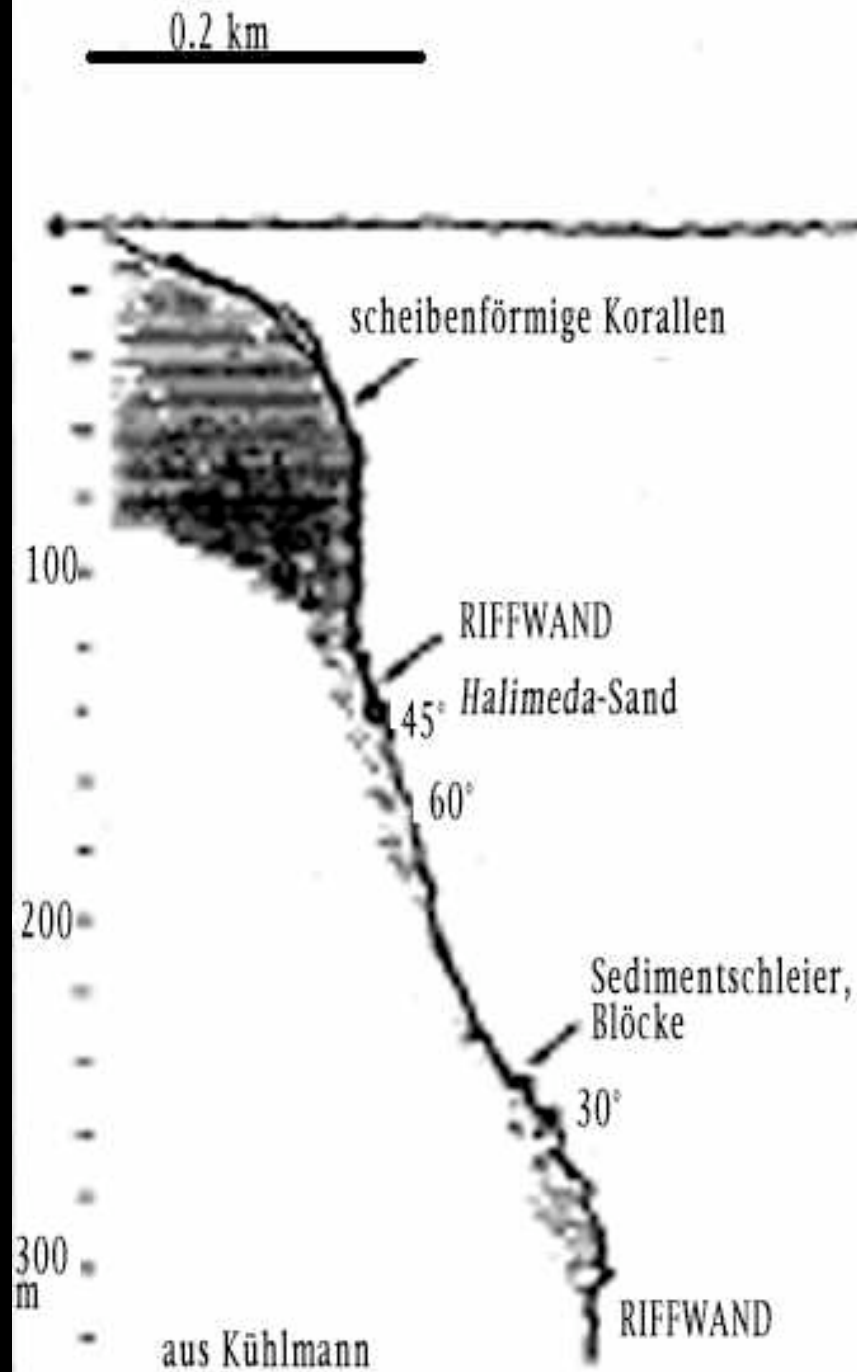
F Melobesiaeae

24. Die sechs Haupttypen von starren Riffgerüsten, welche in den westindischen Riffen vorkommen, geordnet in einer Reihe zunehmender Resistenz gegenüber Sturmwelleneinwirkung. Maßstab. Vergleiche auch mit Taf. 29 und 30 sowie Taf. 33/3.

Dia 1172: Vorriff-Typen, Pfeil: Grenze Rifffront (aus Scholle)



Riffwand-Charakteristika



Dia 1171: Spurs and Grooves, Jamaica (aus Scholle)



Dia 1105: Spurs and Grooves (aus Scholle)



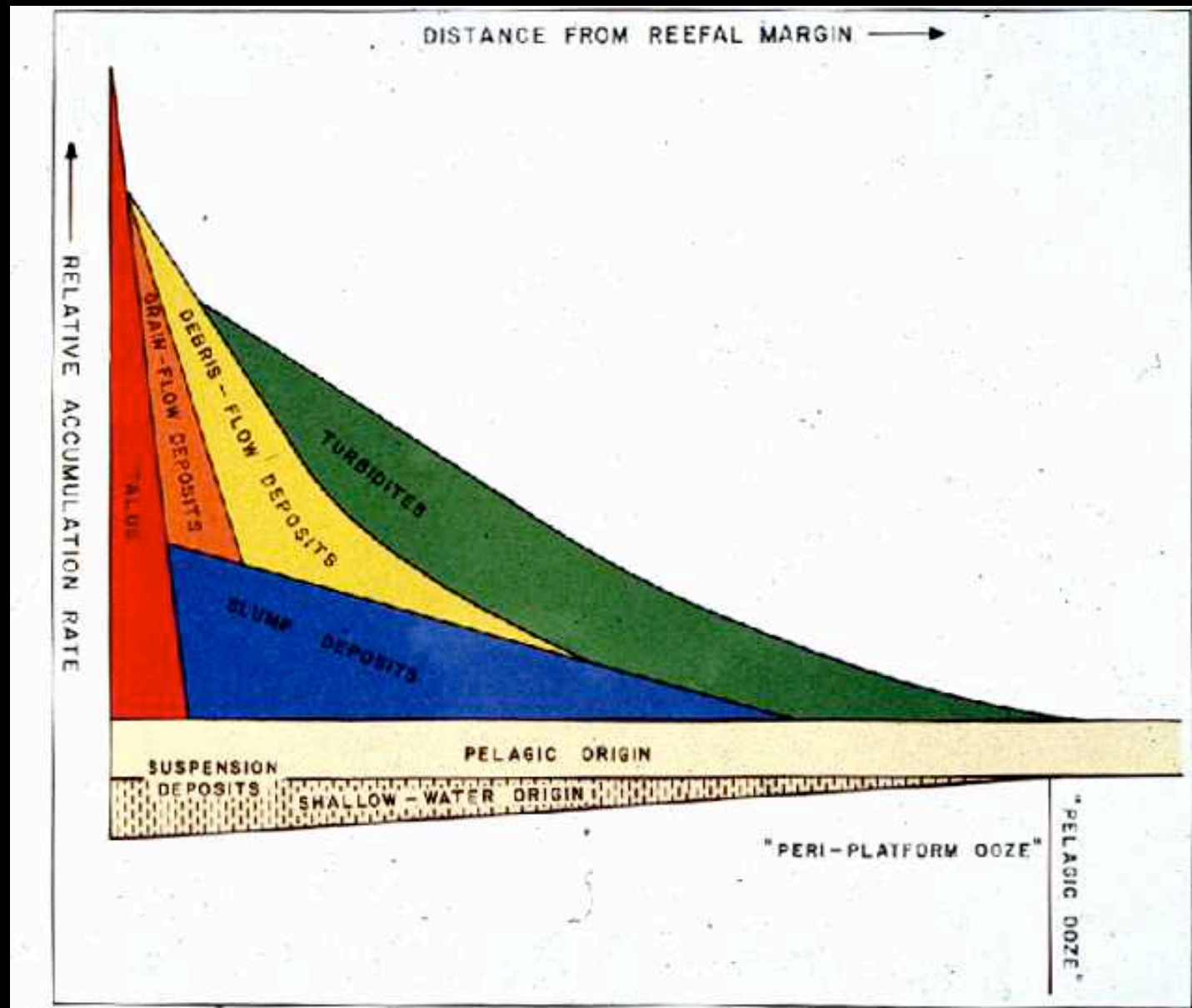
Dia 1241: Korallen-Rifffront-Fazies (Pleistozän) (aus Scholle)



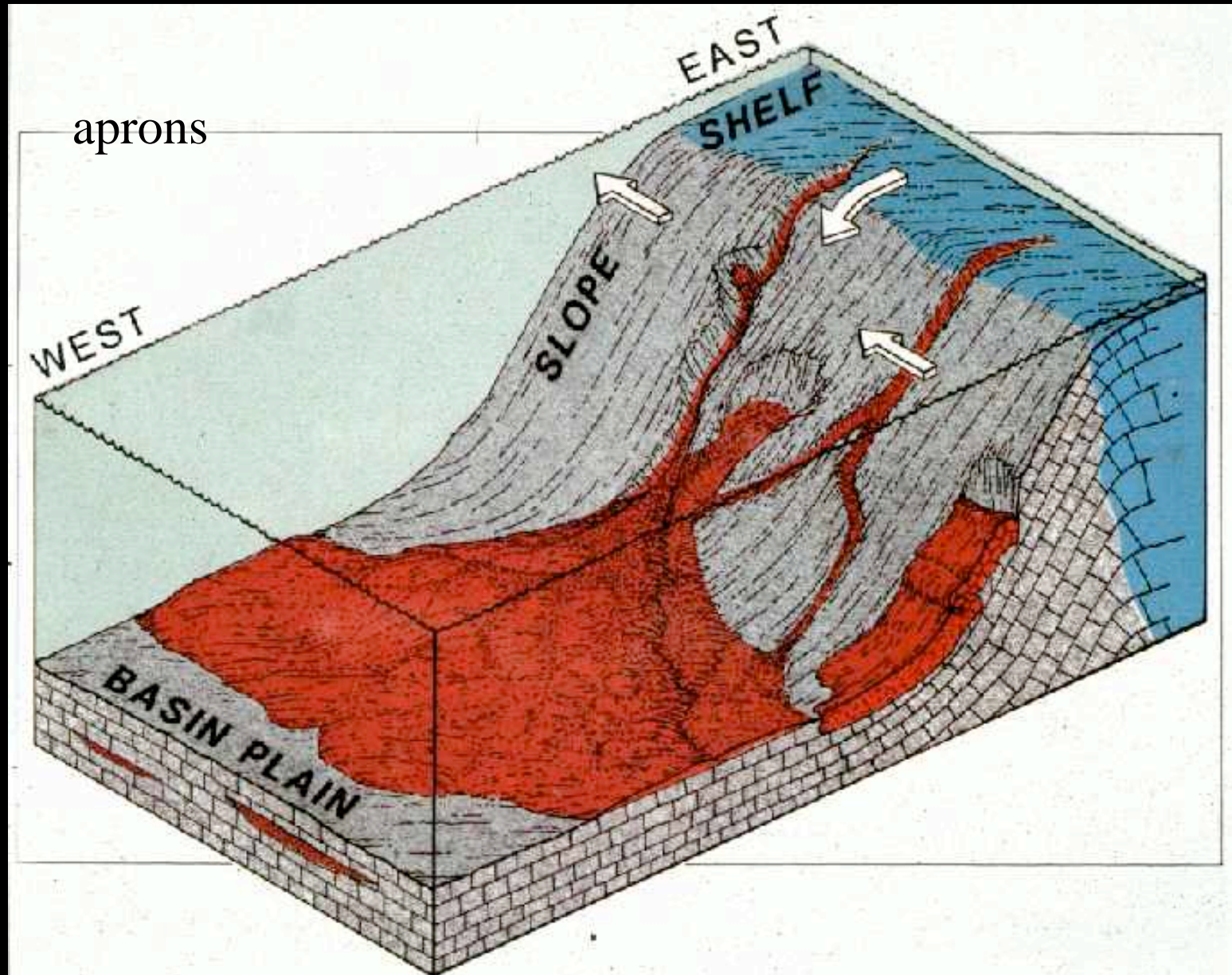
Dia 1250: Rifftafel-Fazies, Acropora, Porites, Diploria, Top
Caliche (Pleistozän) (aus Scholle)



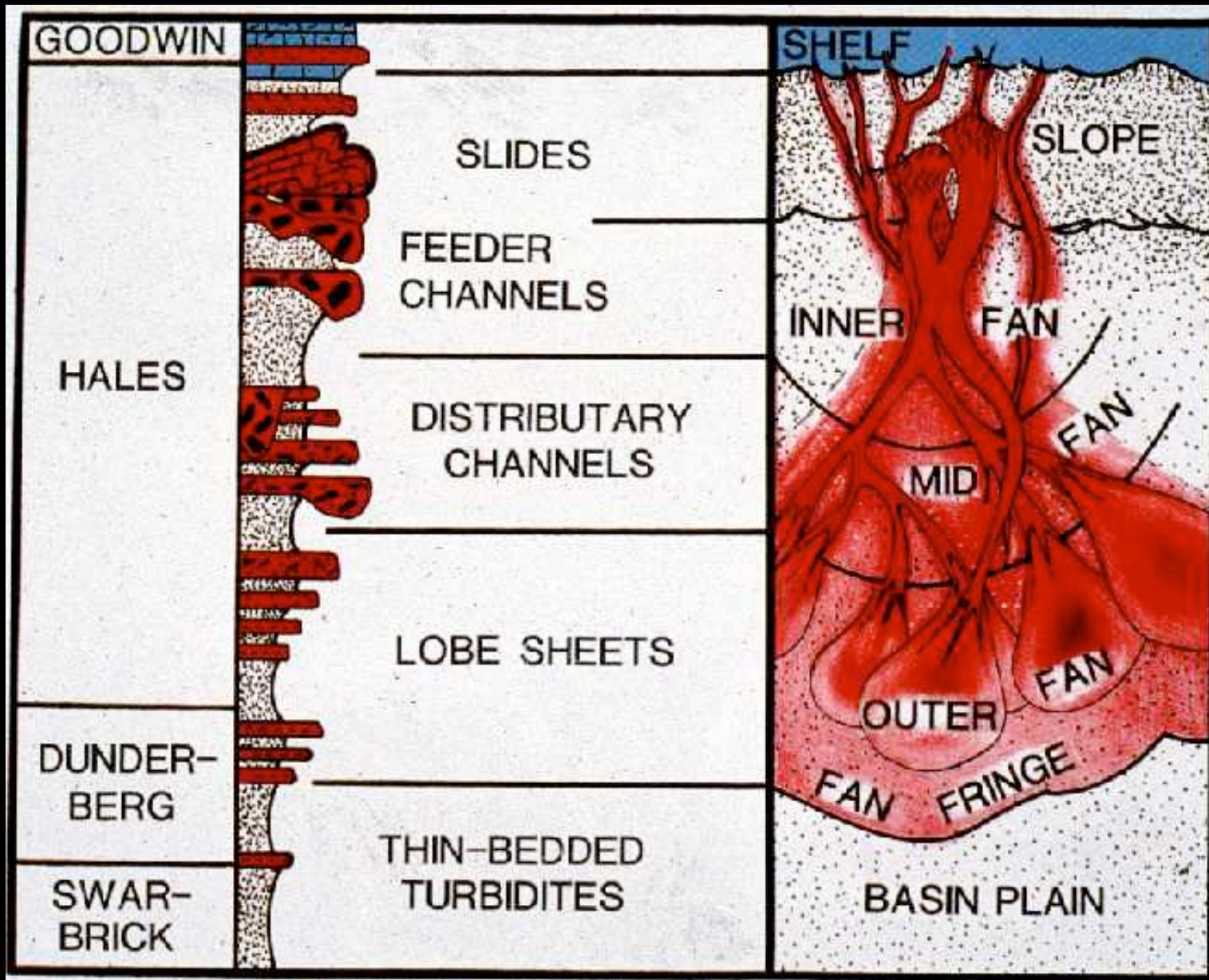
Dia 1173: Positionsabhängigkeit von Vorriff-Sedimenttypen (aus Scholle)



Dia 1179: Brekziengenerierung, Beispiel Kambrium-
Ordovizium, Westküste Kanada (aus Scholle)



Dia 1178: Fächerbildung, Beispiel Kambrium-Ordov
Westküste Kanada (aus Scholle)



Dia 1174: Blockschutt, gleiches Beispiel (aus Scholle)



Dia 1175: Debris Flow-Lage, gleiches Beispiel (aus Scholle)



Dia 1248: sehr grobkörniger Karbonaturbidit, Kambrium
(aus Scholle)



Dia 1245: Karbonaturbidit, Bouma A-E (Karbon)
(aus Scholle)



Dia 1249: Crinoiden-Turbidit (Permokarbon)
(aus Scholle)



Dia 1246: Scherfalten und Brezien an Basis einer Rutschung
(aus Scholle)

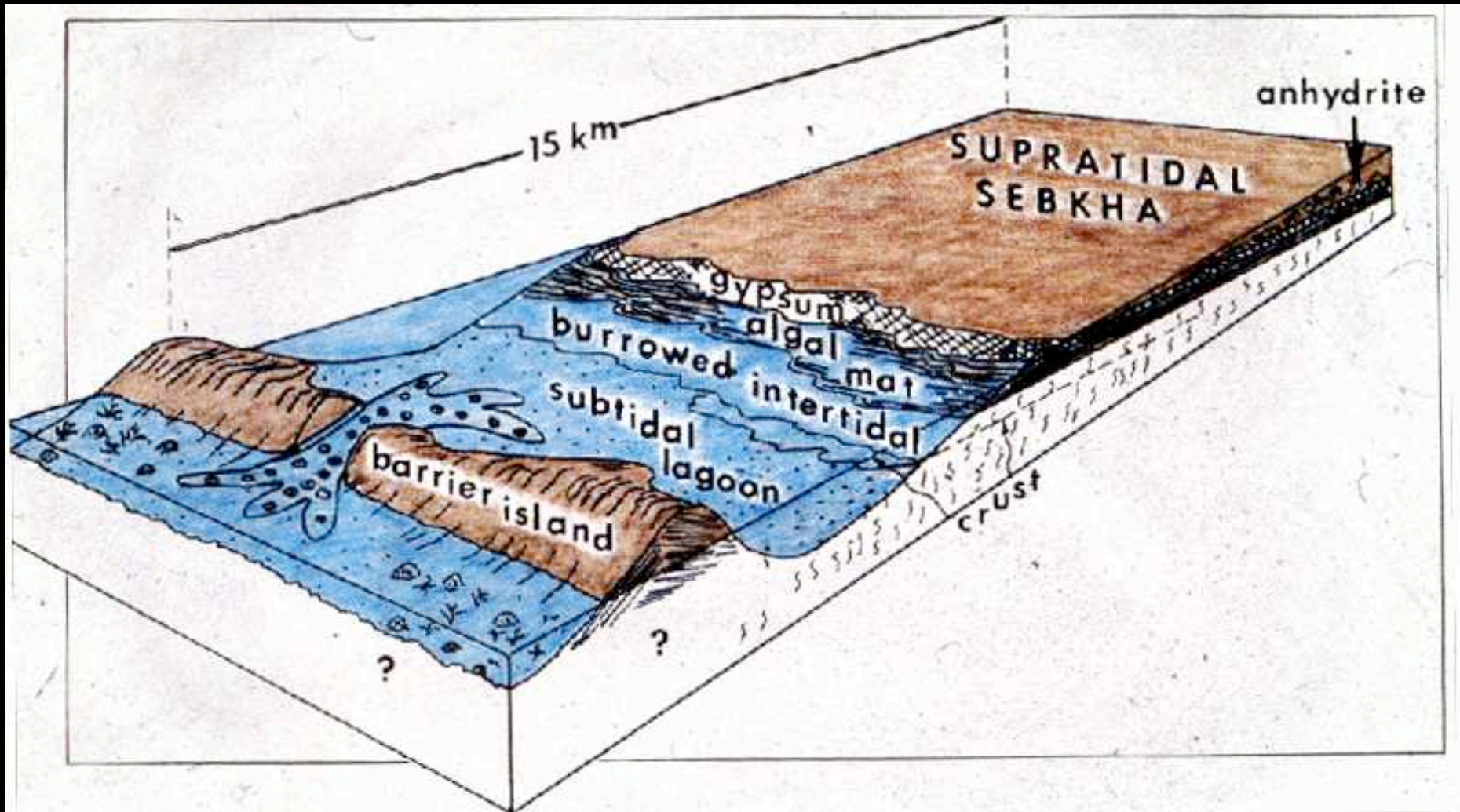


Dia 1247: Intraformationelle sedimentäre Diskordanz (aus Scholle)

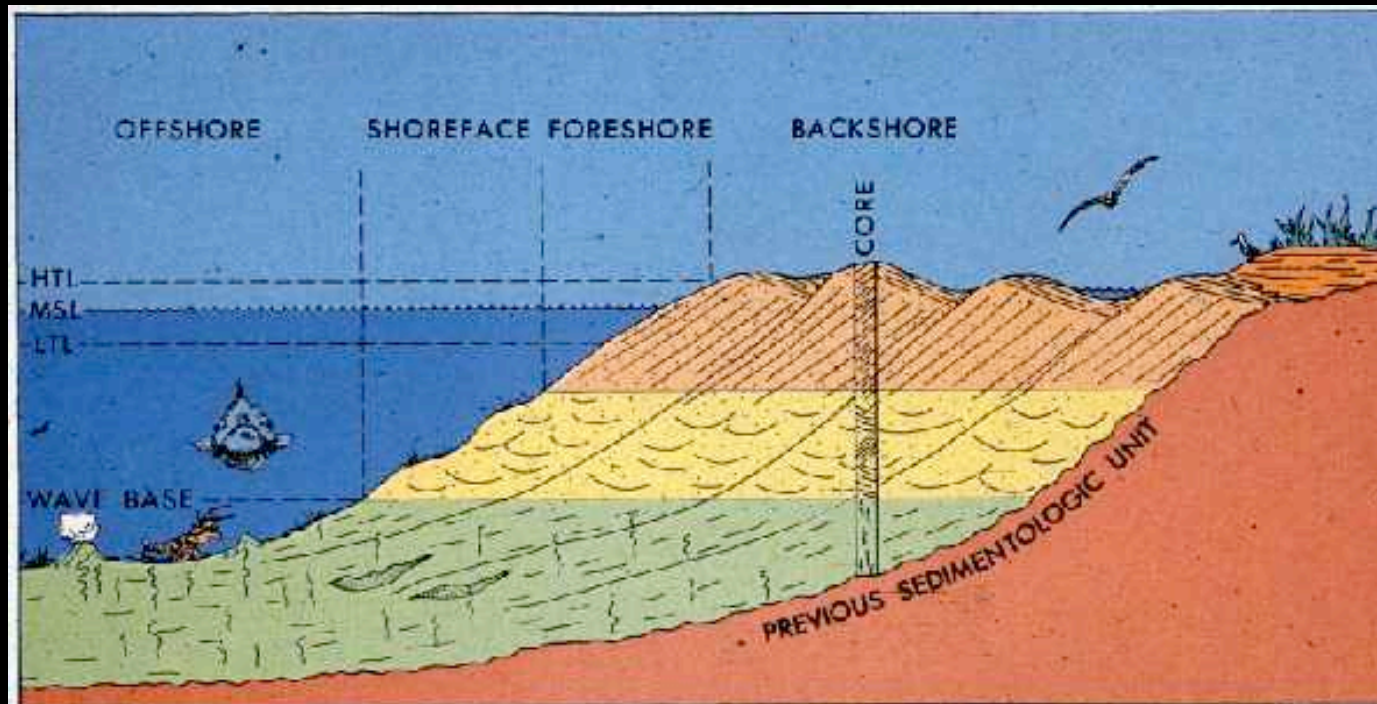


Barren, Lagunen, Gezeitenflächen

Dia 1268: Barrier Island
(aus Scholle)



Dia 1637: Barrier Beach (aus Scholle)



| ZONES | TYPICAL F-LOG (Before E-Log) | | GRAIN SIZE | | SORTING | | LITHOLOGY | CORE | SEDIMENTARY STRUCTURES | PROCESSES |
|-----------|---------------------------------|-----|------------|------|---------|------|-------------------------------|------|--|--|
| | SP | SEA | Coarse | Fine | Poor | Well | | | | |
| FORESHORE | | | | | | | Grainstone | | Parallel Lamination Small Scale Avolarchs Cross Bedding Fine Grained Lamination Vertical Burrows | Wave Swash |
| SHOREFACE | | | | | | | Grainstone to Packstone | | Small to Medium Tabular Bedrock Crossbeds | Directed Tidal and Along Shore Currents |
| OFFSHORE | | | | | | | Fracstone to Wackestone | | Horizontal Bedding Burrows | Biologic |

Dia 1638: trogförmige Schrägschichtung: Shoreface
(aus Scholle)



Dia 1639: Foreshore-Beachrock
(aus Scholle)



Dia 1106: Joulters Ooid Shoal, Bahamas
(aus Scholle)



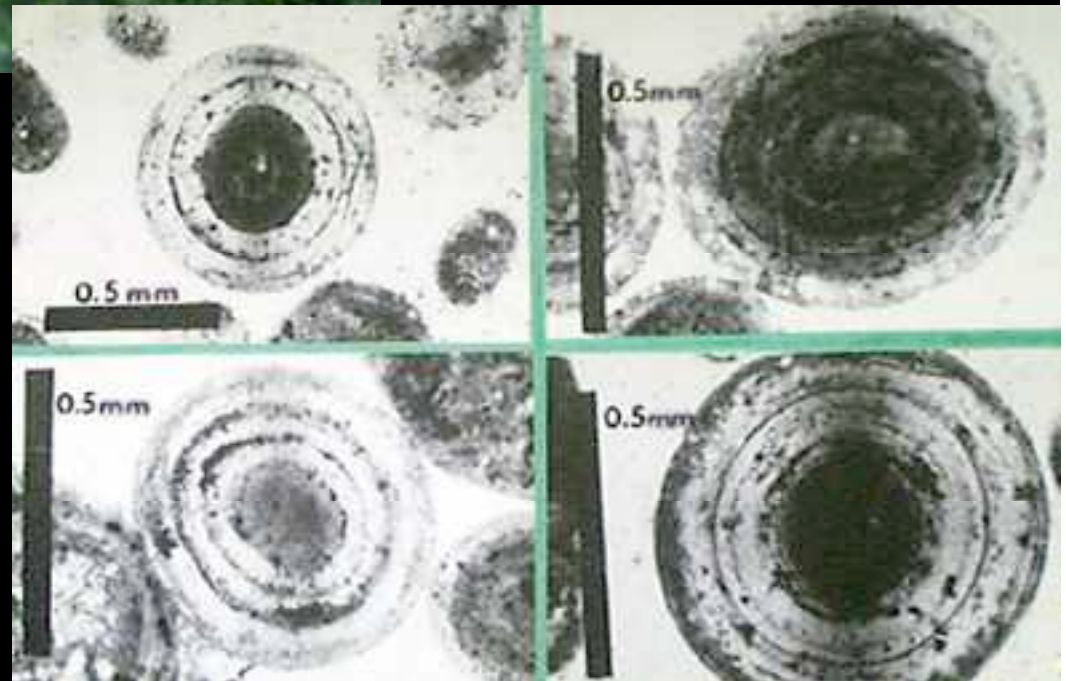
Dia 1106: Joulters Ooid Shoal, Bahamas
(Foto Leinfelder)



Dia 1169: Ebbrippel in Oolith, mit fecal mound
(aus Scholle)



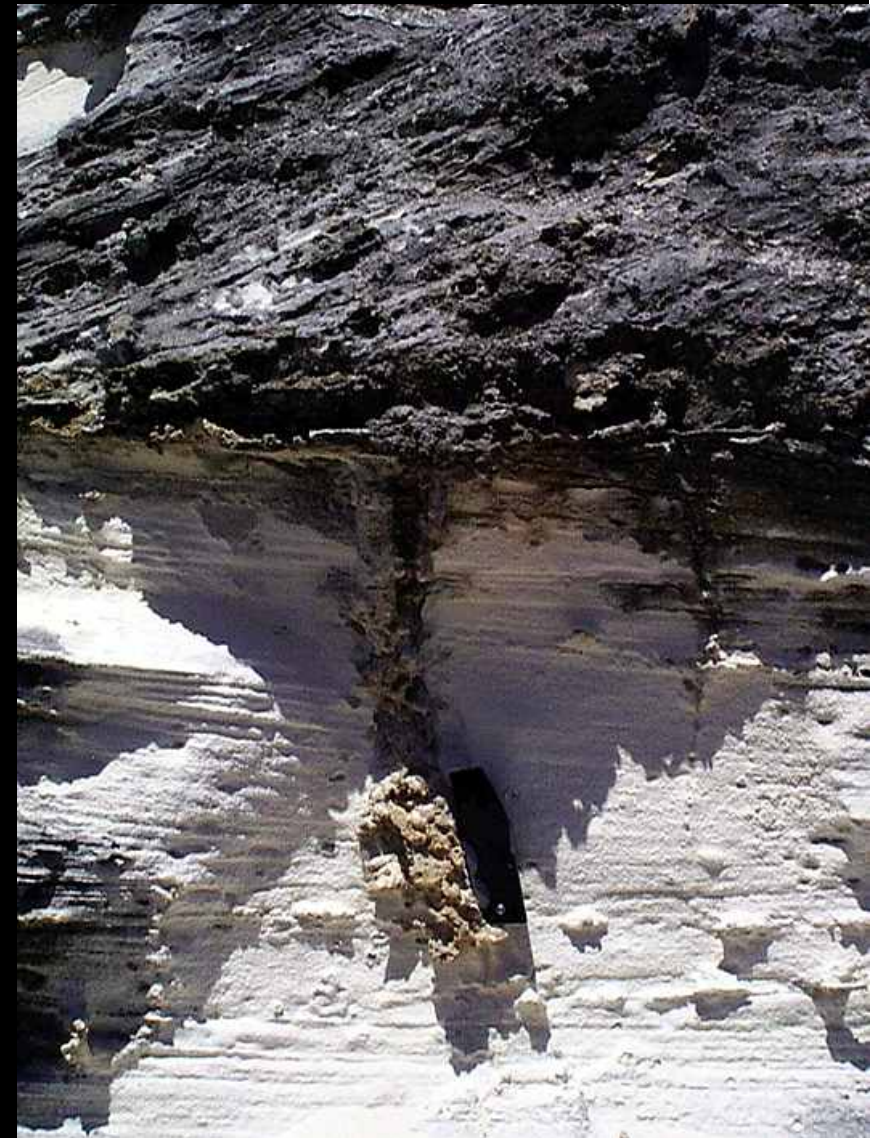
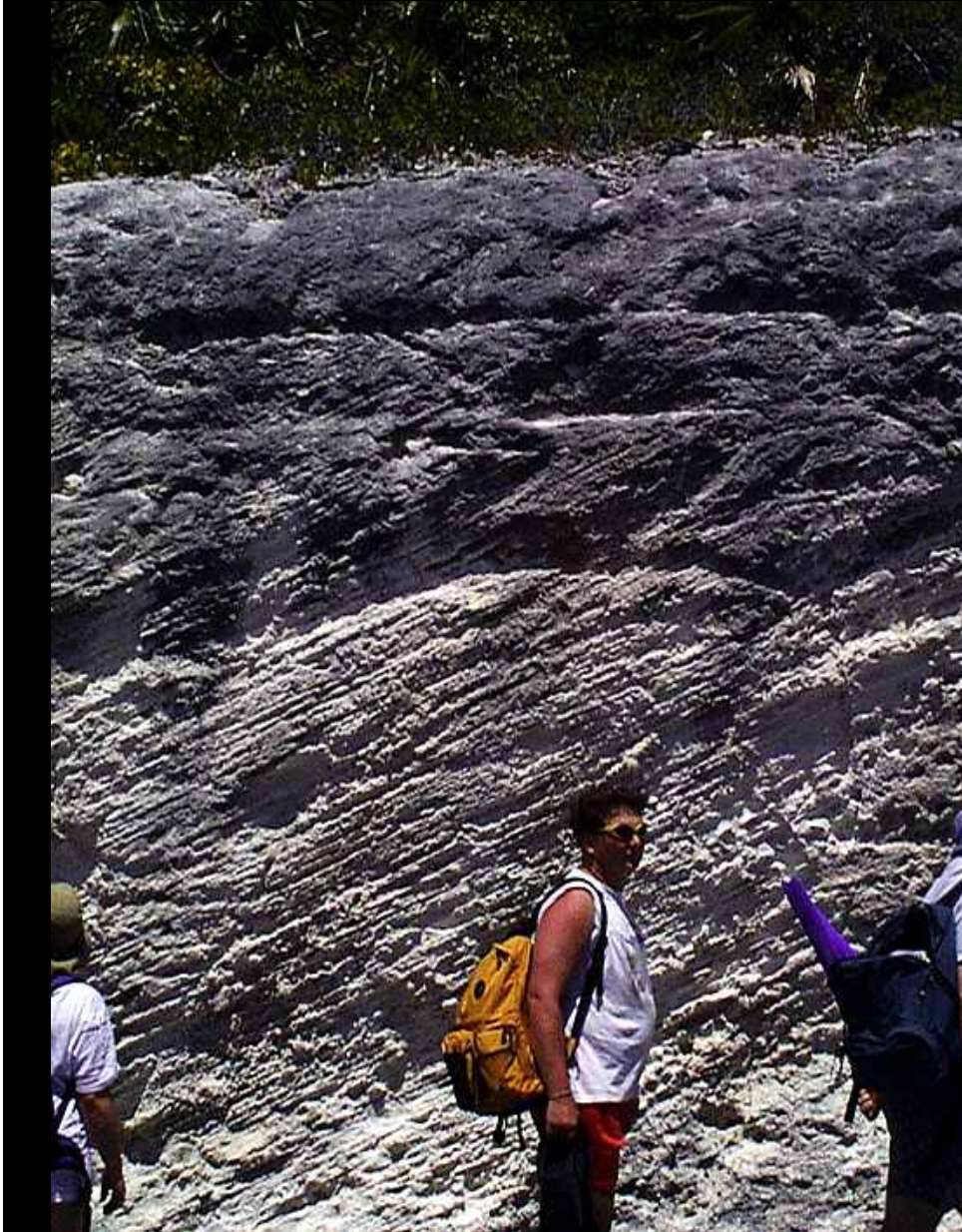
Ooide von den Bahamas



Dia 1240: schräggeschichteter Oolith, Bahamas
(aus Scholle)



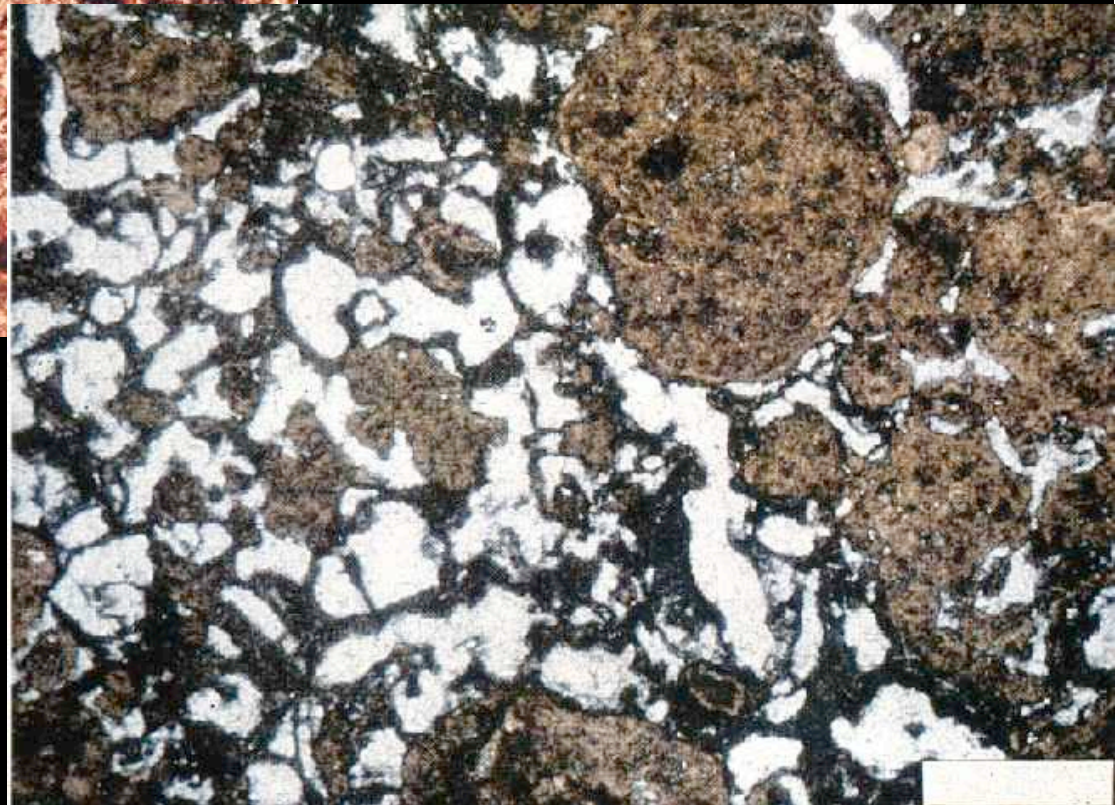
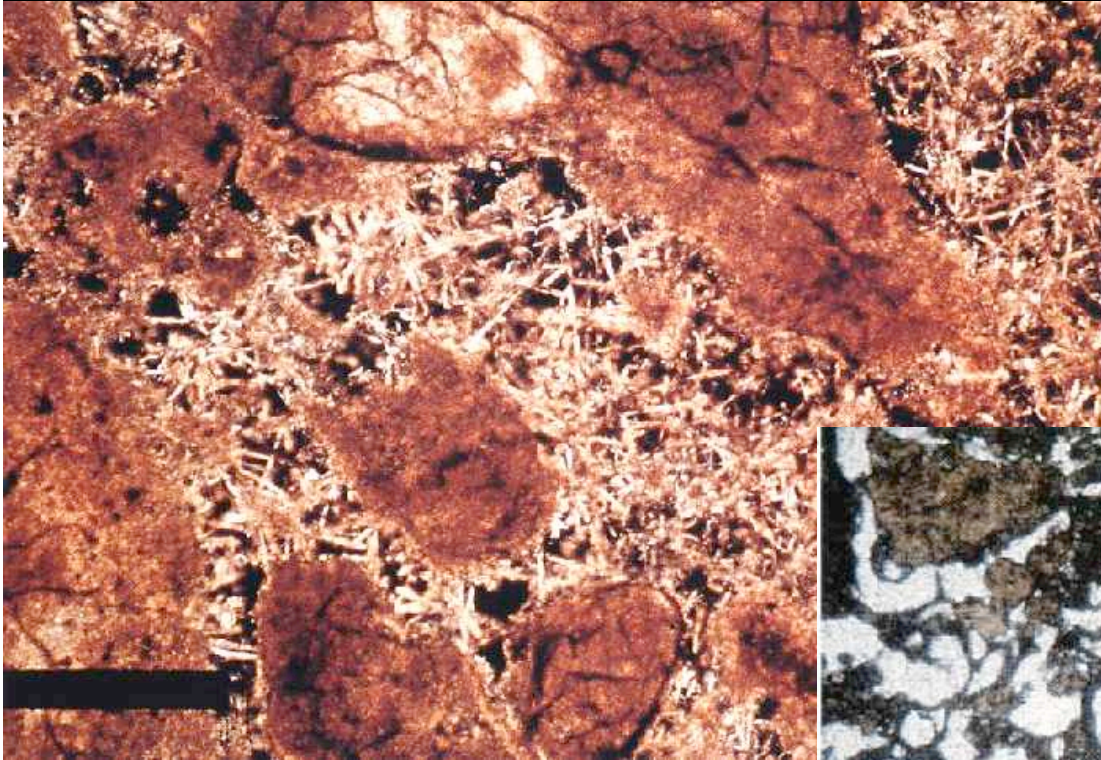
Dia 1240: schräggeschichteter Oolith, Bahamas (Highbourn)
(Foto Leinfelder)



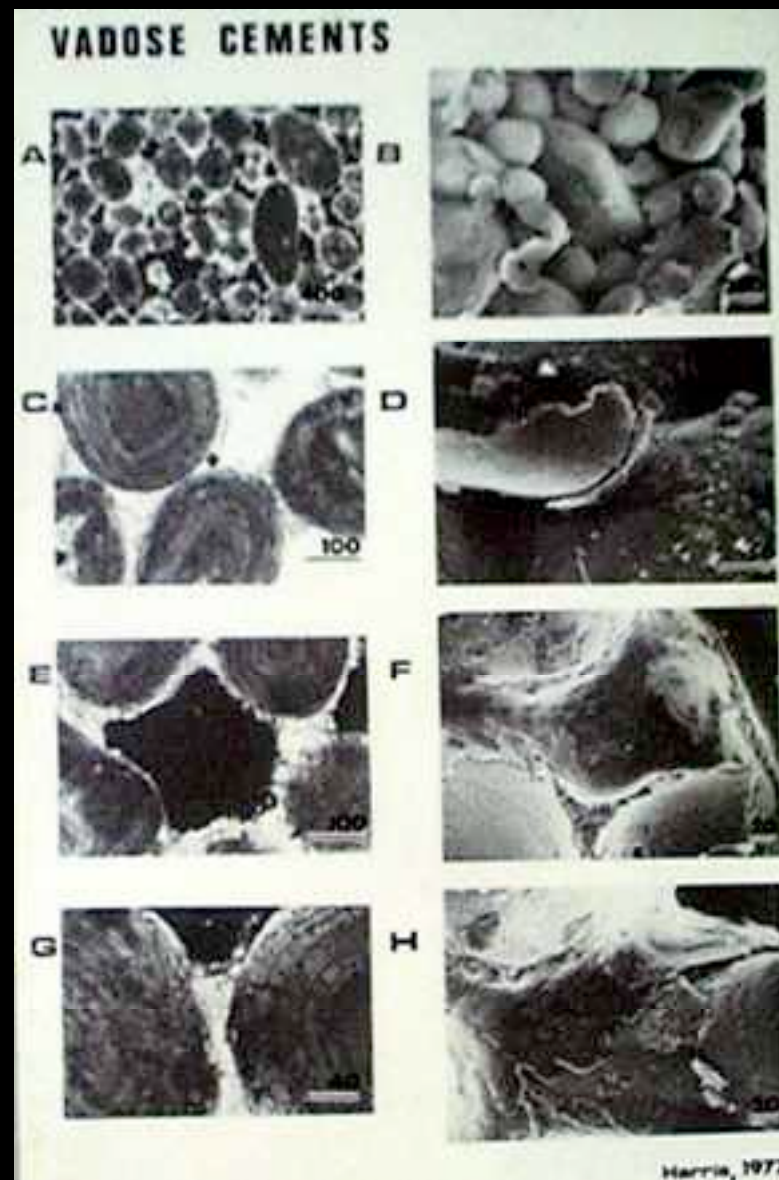
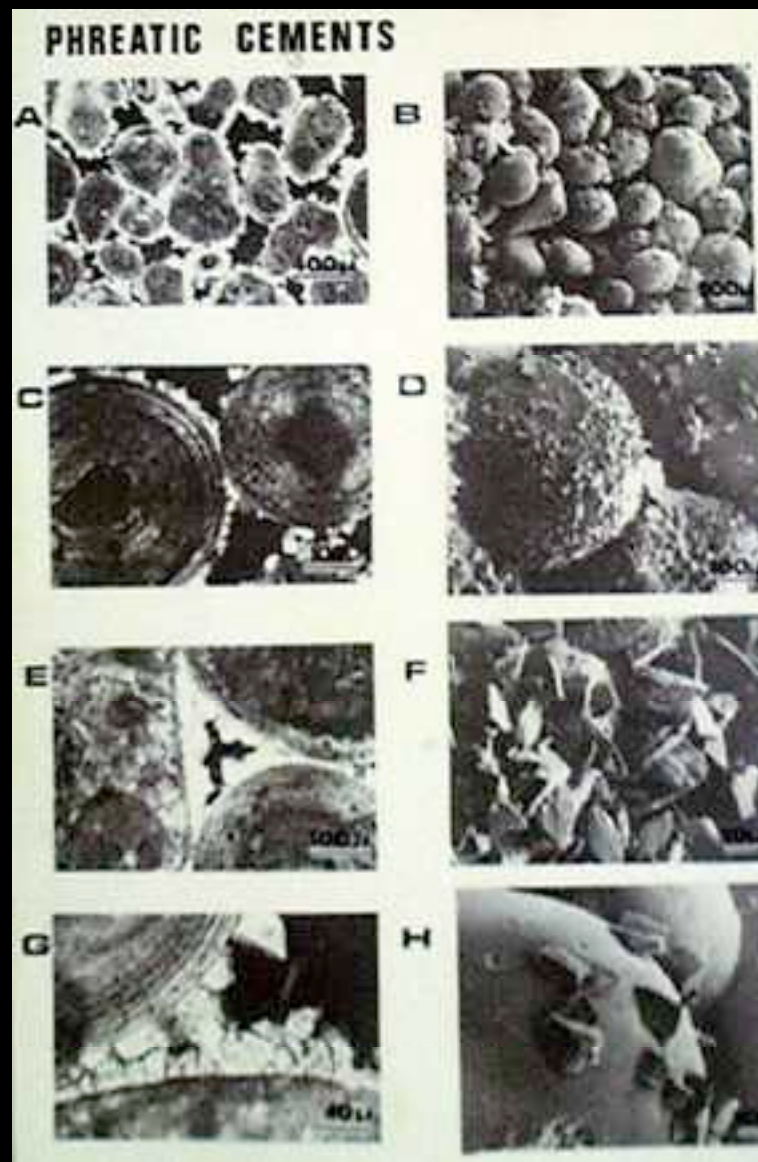
Dia 1244: äolische Oolith, Bahamas
(aus Scholle)



Dia 1631/1626: Nadelzemente und Alveolarstruktur in Äolianiten



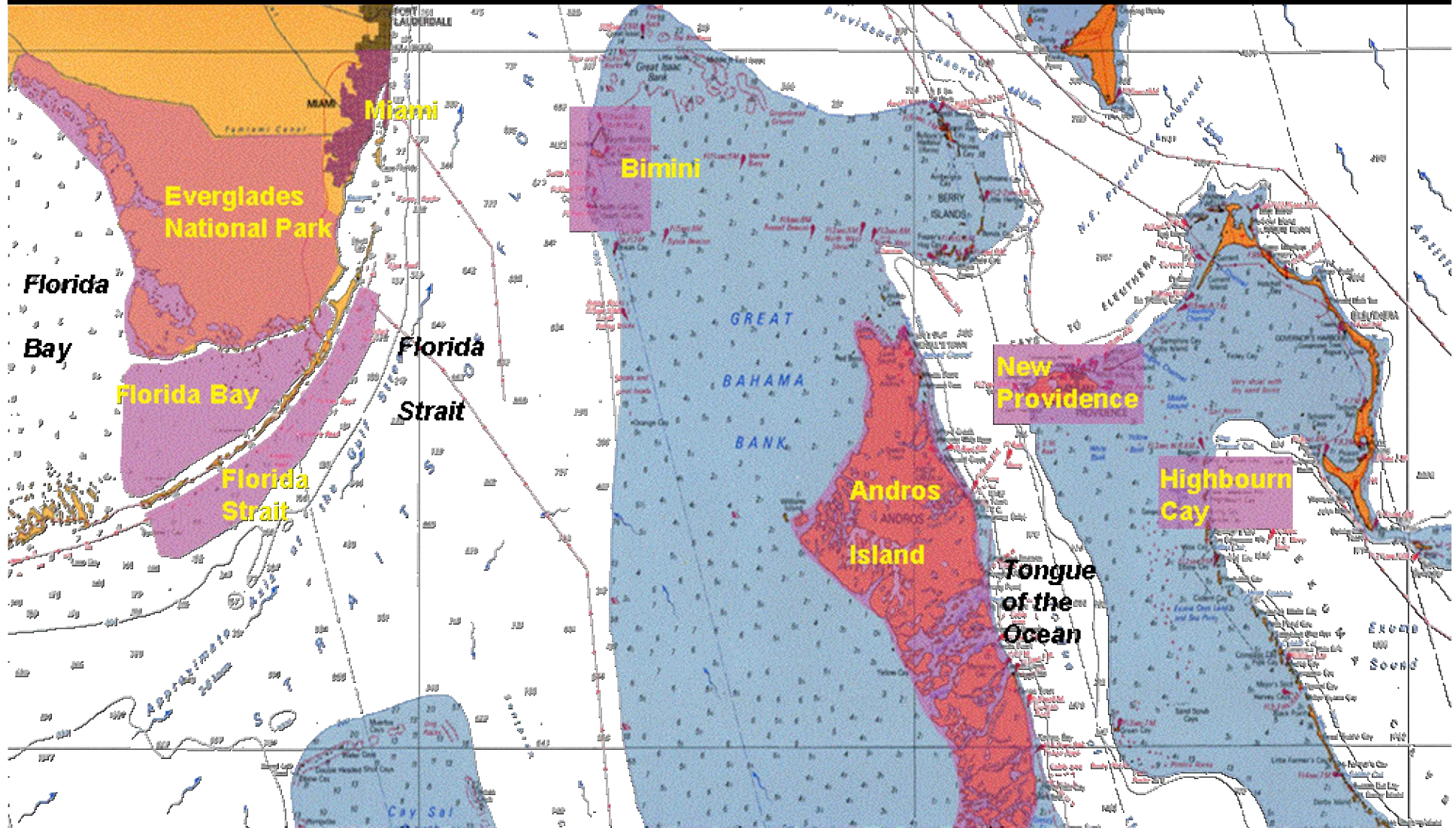
Zemente in Oolithen

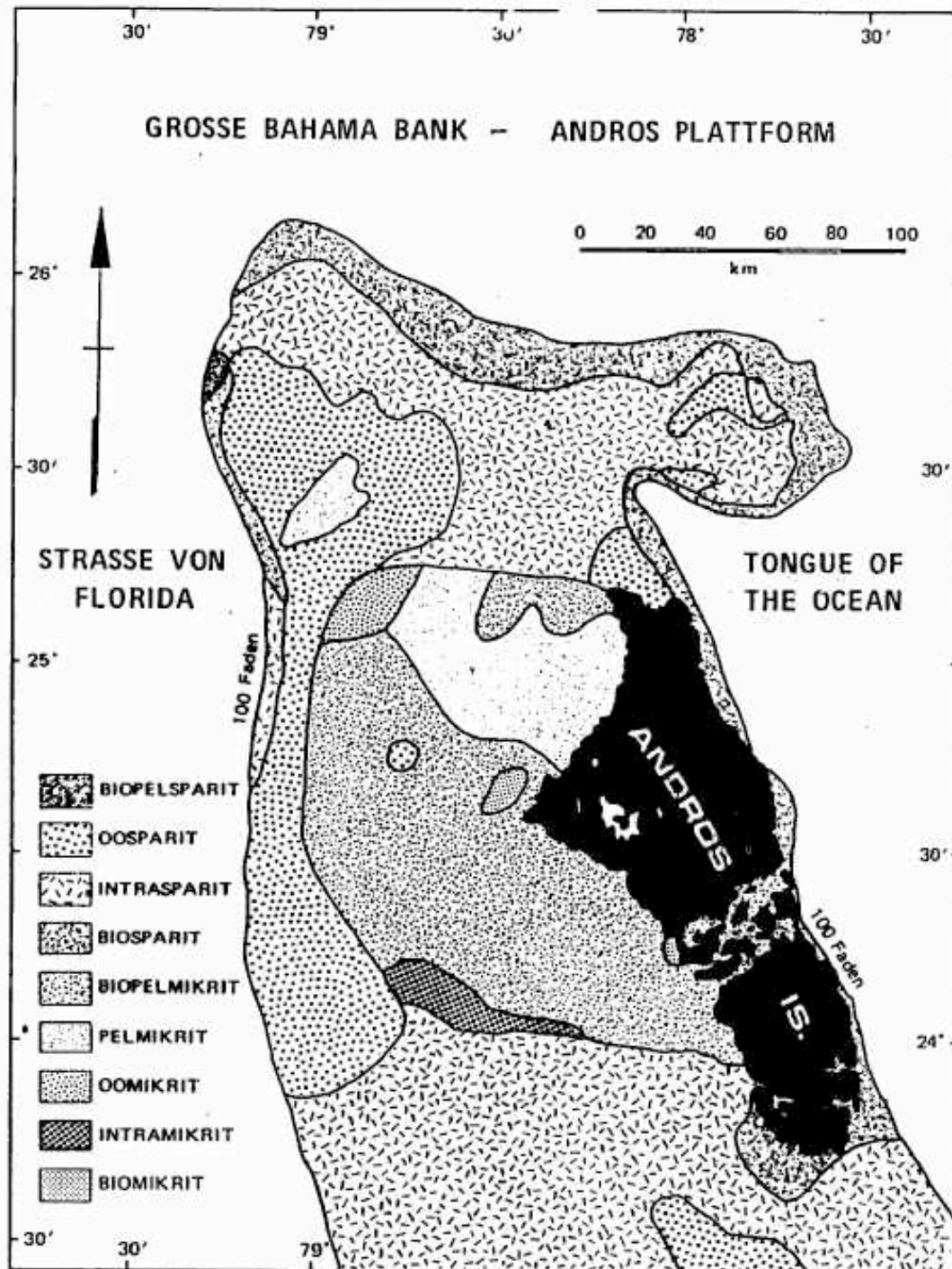


Ooidbarre bei Bimini, Bahamas



Bahamas

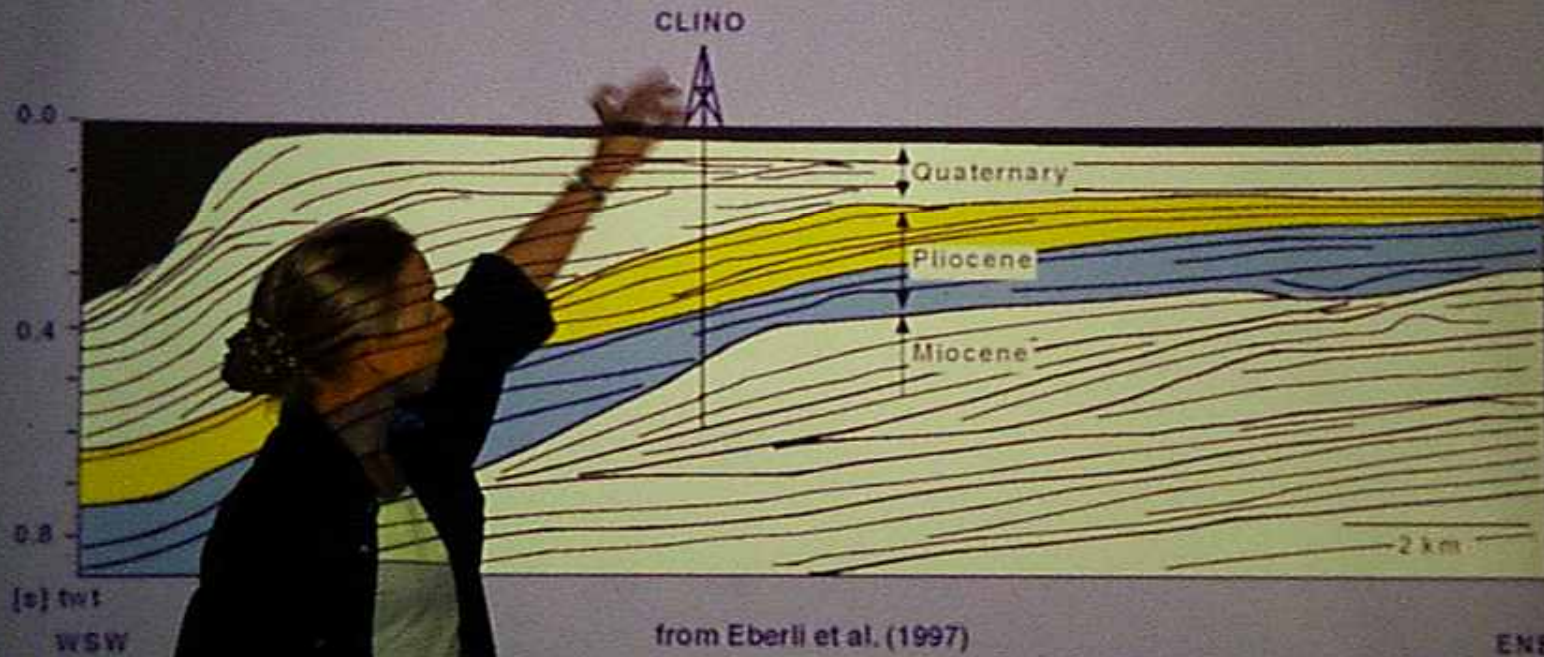




Sedimentverteilung auf
der Großen Bahama Bank
(aus Flügel)

Progradation der Bahama Bank

Seismic line across GBB

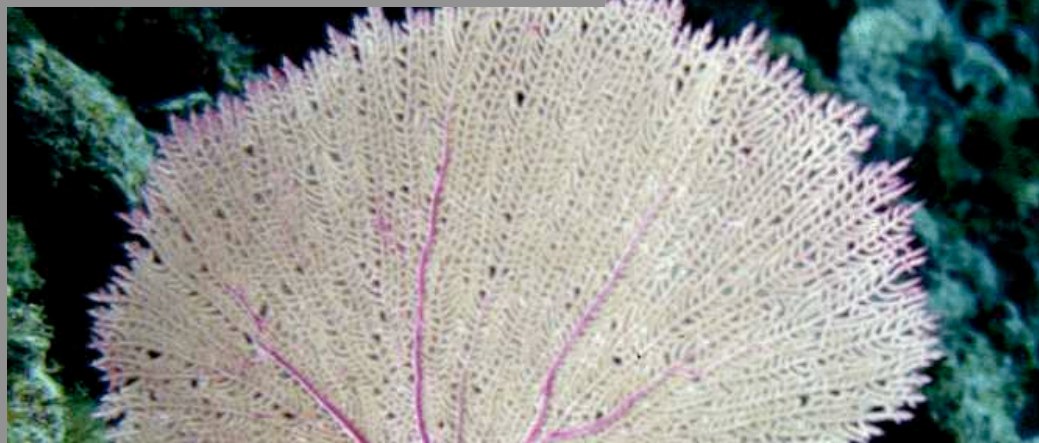


from Eberli et al. (1997)

ENE

Wright et al. 2009

lagunäre Fleckenriffe (Bahamas) (Fotos: Leinfelder)



veralgt (Fotos 1999)

lagunäre Fleckenriffe (Bahamas) (Leinfelder



Dia 1151: lagunäres Fleckenriff (Ordoviz)



Dia 1167: Serpuliden-Fleckenriff



Dia 632: Lagunäre Sande: Halimeda, Forams, Rotalgen etc.



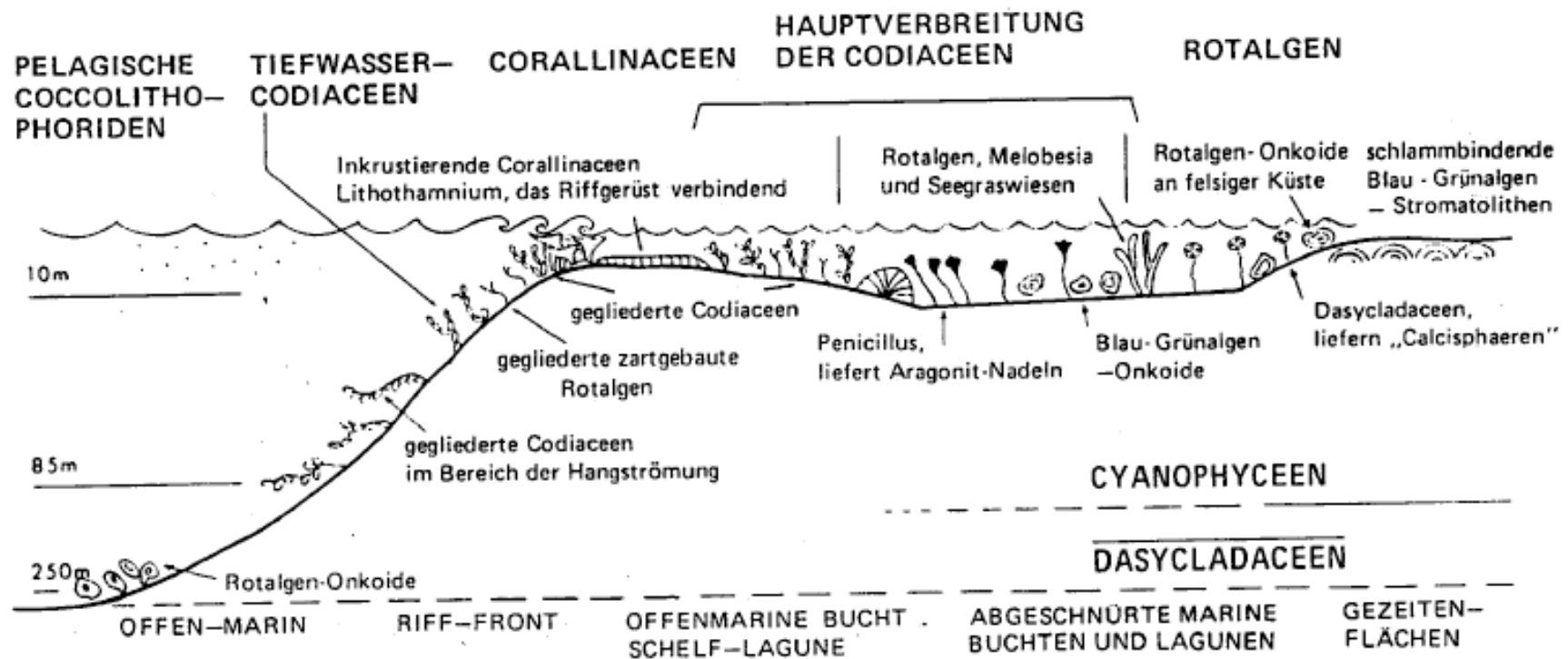
Dia 630: Lagunäre Sande: Halimeda, Forams, Rotalgen etc.



Halimeda, Penicillus, Udotea, Bimini



Algenverteilung auf Karbonatplattformen



aus Flügel 1978

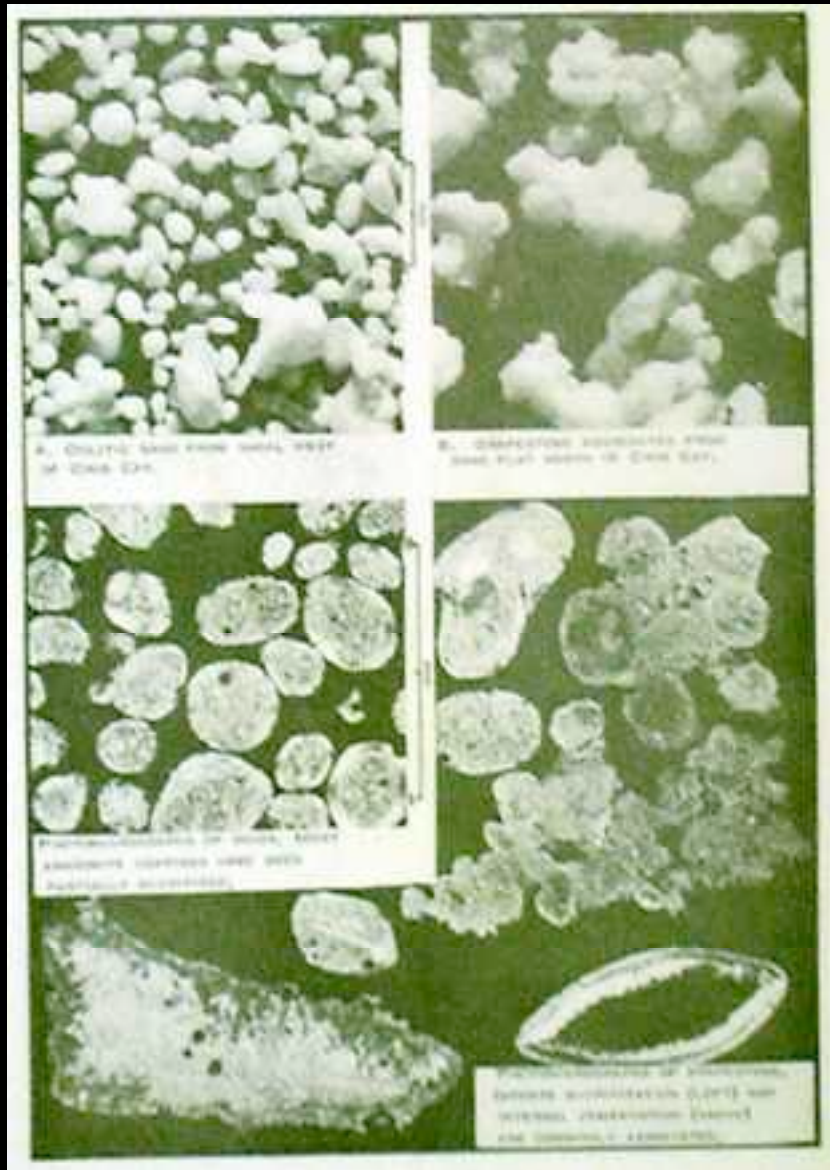
Stromatolithe auf Highbourn, Bahamas (Leinfelder)



Stromatolithe auf Highbourn, Bahamas (Leinfelder)



Aggregatkorn-Fazies (Bahamas)



Aggregatkorn-Fazies (Bahamas)



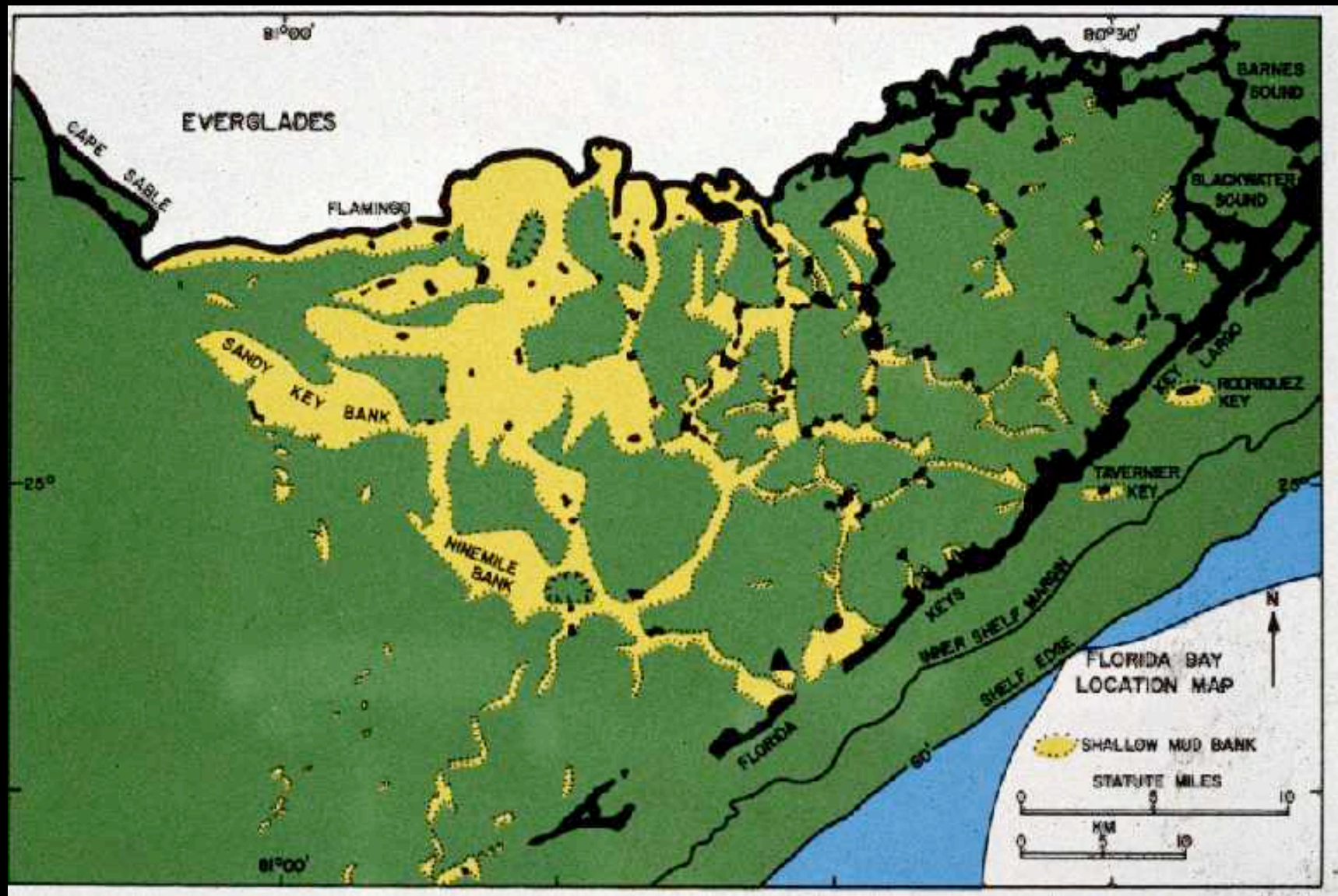
Dia 875: Aggregatkorn-Fazies (Jura)



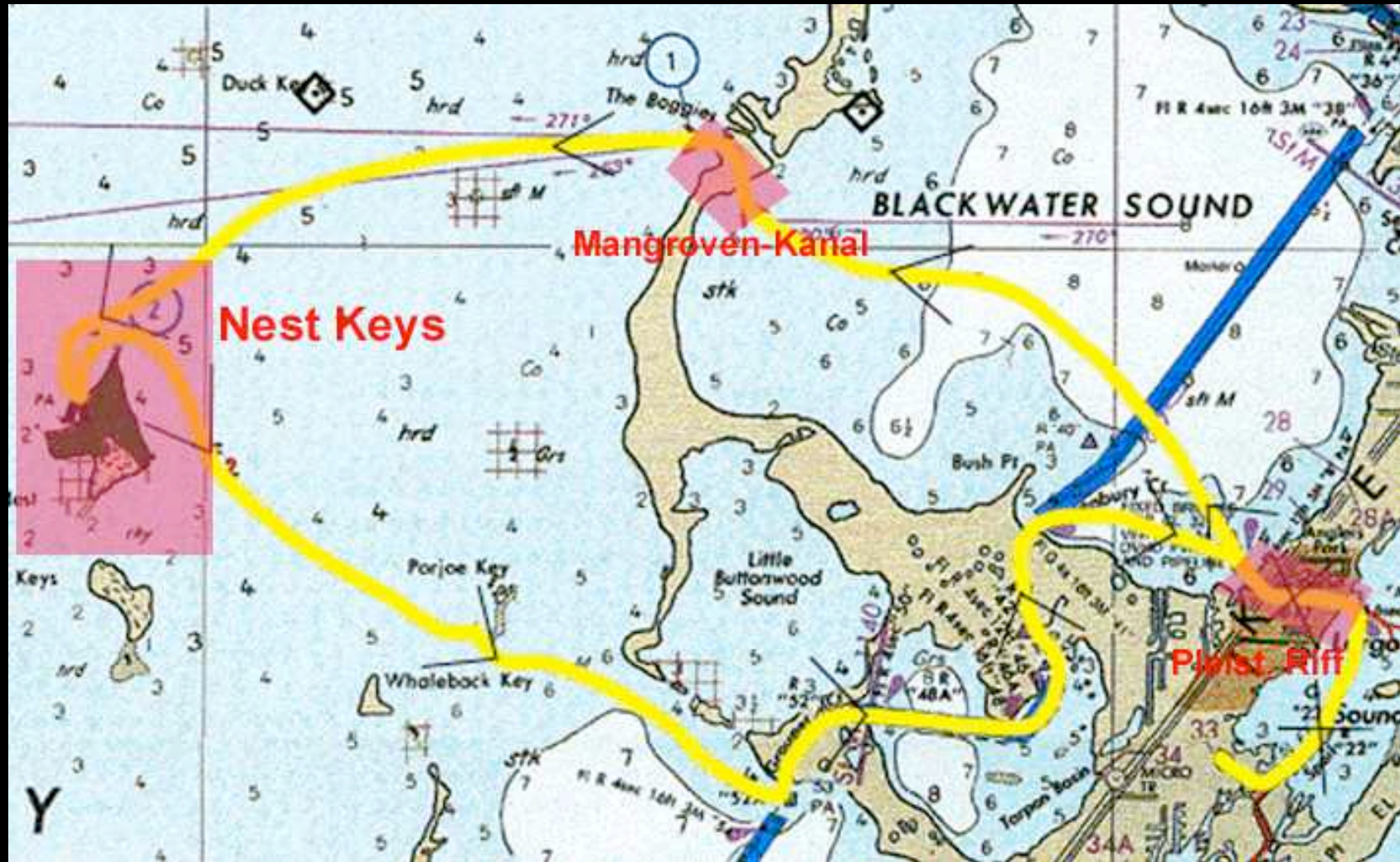
Bahamas: bioturbierte Intertidal-Sande



Dia 1149: Florida Bay - Mud Banks



Florida Bay - Exkursionsroute 1999



Florida Bay - Pleistozäne Riffe - Durchstich bei Key Largo



Florida Bay - Pleistozäne Riffe - Durchstich bei Key Largo



Florida Bay - Mangrovenkanal



Dia 1243: Florida Bay - Mud Banks



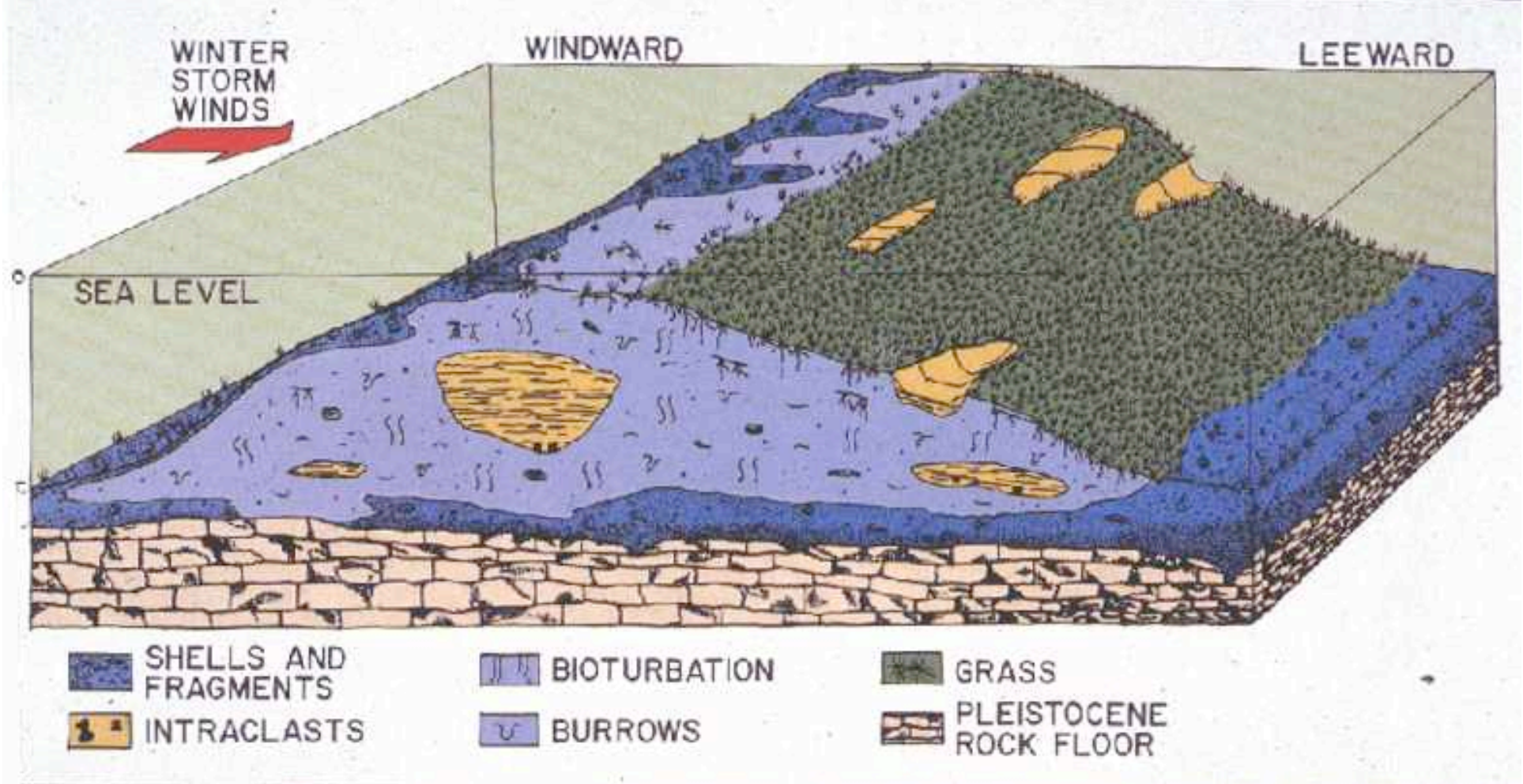
Florida Bay - Muds (Foto Leinfelder)



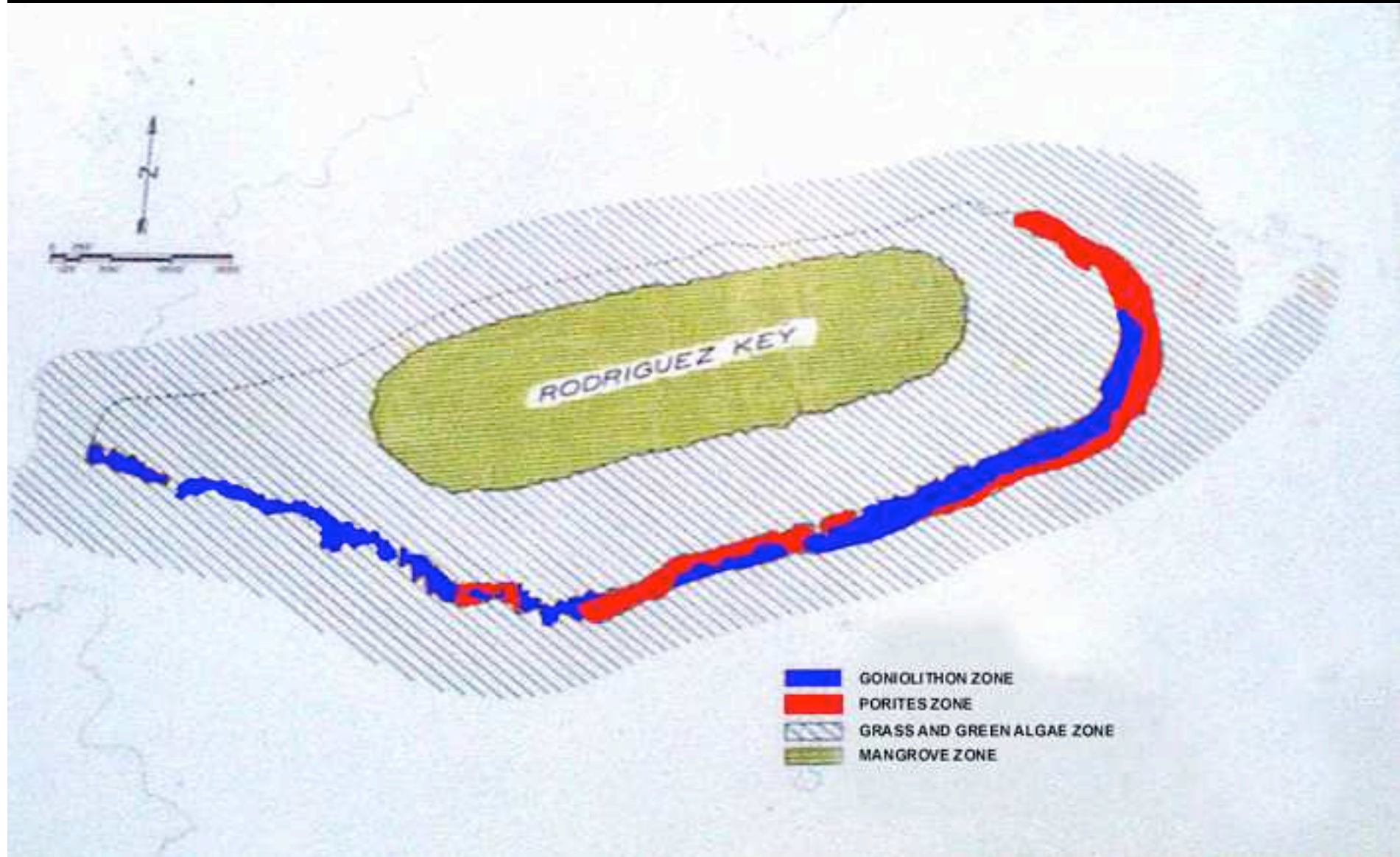
Florida Bay - Handbohrkern (Foto Leinfelder)



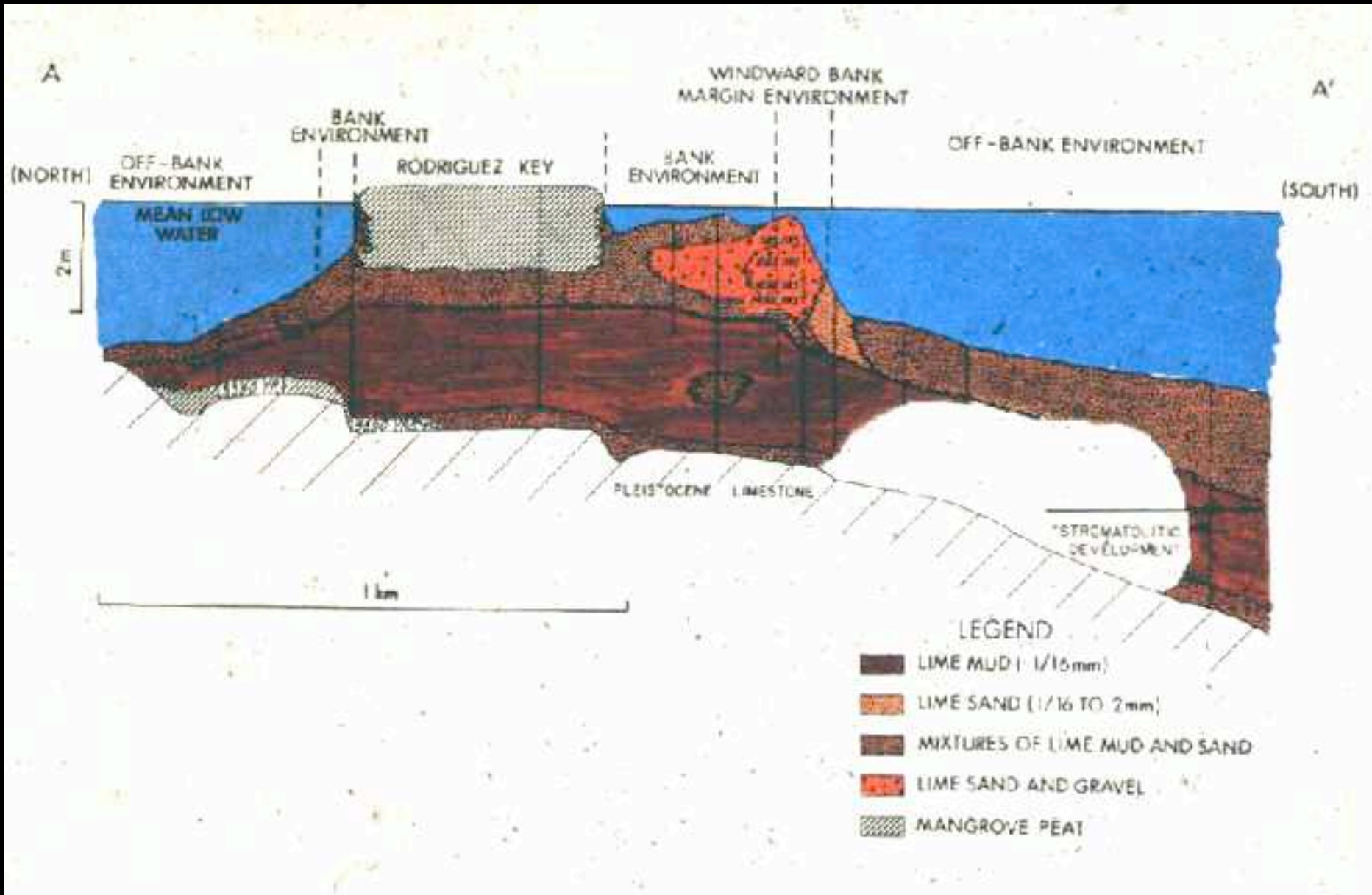
Dia 1150: Schnitt durch Mud Bank (aus Scholle)



Dia 331: Rodrigues Key (aus Scholle)



Dia 330: Rodrigues Key (aus Scholle)



Andros Island Freshwater Supratidal Marsh (Leinfelder)



Andros Island Inter/Supratidal Marsh (Leinfelder)



Andros Island: Position des vorherigen Bildes



Andros Island: Intertidal flats



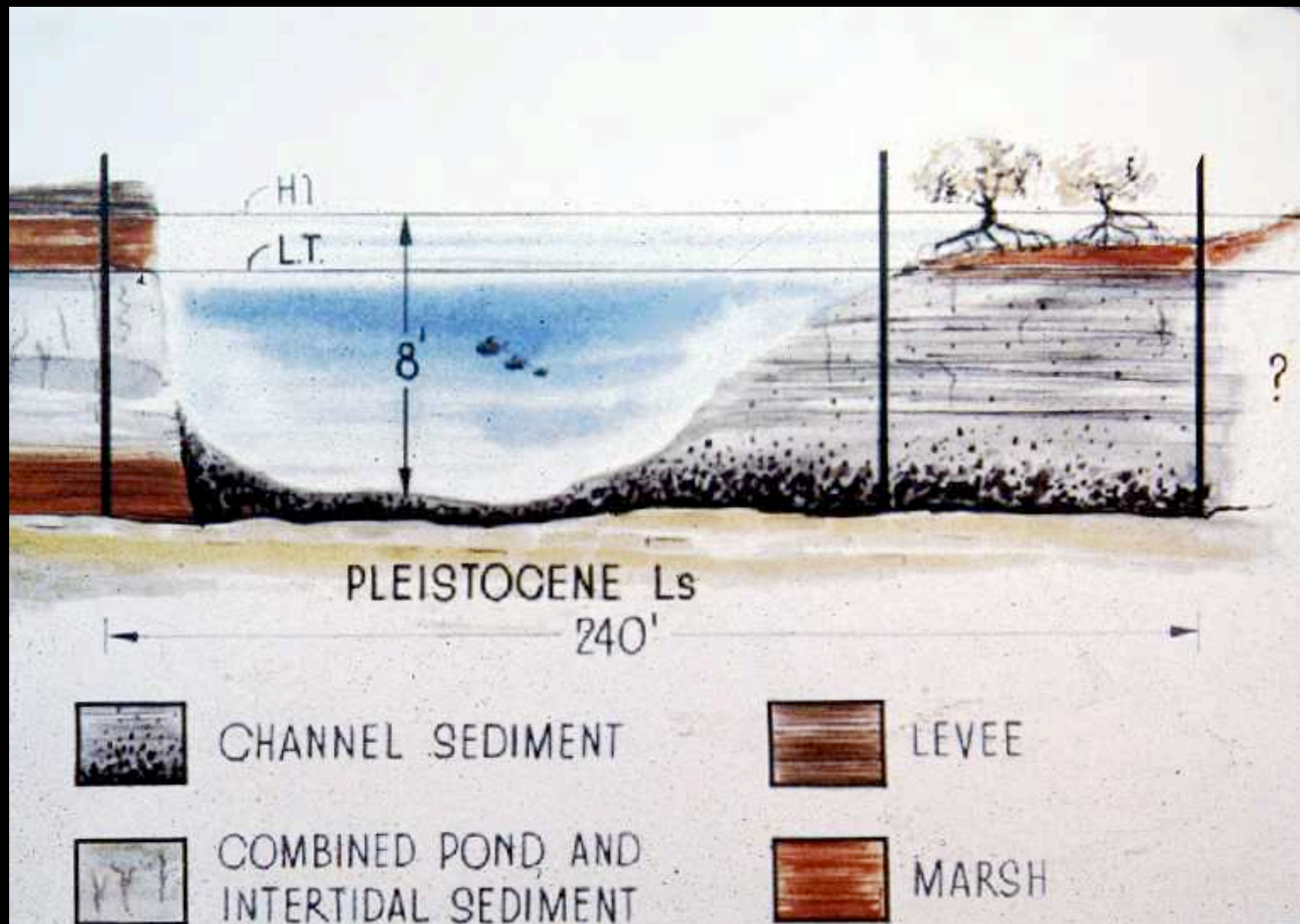
Andros Island: Intertidal flats



Dia 1145: Andros Island Marsh (aus Scholle)



Dia 1100: Intertidales Kanalmodell (aus Scholle)



Dia 1144: Algenmatten mit Trockenrissen (aus Scholle)



Algenmatten im Profil



Bioturbation



Dia 1146: Gezeitenkanal (aus Scholle)



Dia 1147: aufgegebener Gezeitenkanal (aus Scholle)



Florida Bay - Everglades (Fotos Leinfelder)

